

# بررسی تحلیلی و شبیه‌سازی المان محدود متمرکزکننده نمایی با سطح قطع مسططیل شکل: بکارگیری در فرایند سنگزنی به همراه آلتراسونیک

محسن امامی<sup>۱</sup>، محمد حسین صادقی<sup>۲\*</sup>

۱- دانشجوی دکتری مهندسی مکانیک- ساخت و تولید، دانشگاه تربیت مدرس، تهران

۲- استاد مهندسی مکانیک- ساخت و تولید، دانشگاه تربیت مدرس، تهران

\* تهران، صندوق پستی ۱۴۳-۱۴۱۱۵

sadeghim@modares.ac.ir

**چکیده-** در یک سیستم آلتراسونیک، متمرکزکننده، انرژی ارتعاشی ترانسdiyosr آلتراسونیک را به محل مورد کاربرد انتقال داده و دامنه نوسانات را تقویت می‌کند. در این مقاله متمرکزکننده‌های با هندسه نمایی و با سطح قطع مسططیل شکل، طراحی و آنالیز شده و یک نمونه کاربرد آنها در فرایند سنگزنی به همراه آلتراسونیک مطرح می‌شود. سپس برای ارزیابی حل تحلیلی، چند نمونه متمرکزکننده مختلف به روش تحلیلی طراحی و سپس مدل‌سازی شده و در نرم‌افزار المان محدود انسیس آنالیز مودال می‌شوند و پارامترهای ارتعاشی آنها شامل فرکانس تشددید و ضریب بزرگنمایی با مقادیر حاصل از شبیه‌سازی المان محدود مقایسه می‌گردد. نتایج بدست آمده، تطابق خوب بین مقادیر حل تحلیلی و شبیه‌سازی المان محدود را نشان می‌دهد. همچنین یک مجموعه متمرکزکننده-قطعه کار جهت بکارگیری در فرایند سنگزنی به همراه آلتراسونیک شبیه‌سازی می‌شود.

**کلیدواژگان:** متمرکزکننده نمایی با قطع مسططیل شکل، حل تحلیلی، شبیه‌سازی المان محدود، سنگزنی به همراه آلتراسونیک.

## Analytical modeling and finite element simulation of exponential horns with rectangular cross-section: Application on ultrasonic assisted grinding

M. Emami<sup>1</sup>, M.H. Sadeghi<sup>2\*</sup>

1- PhD Student, Mech. Eng., Tarbiat Modares Univ., Tehran, Iran

2- Prof., Mech. Eng., Tarbiat Modares Univ., Tehran, Iran

\* P.O.B. 14115-143 Tehran, Iran. sadeghim@modares.ac.ir

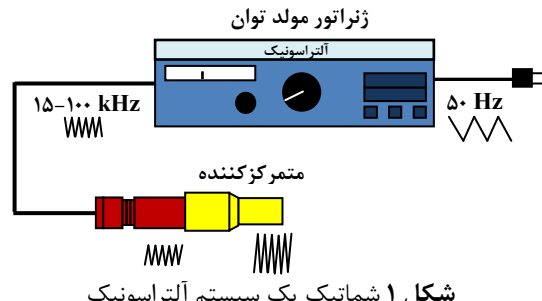
**Abstract-** In an ultrasonic system, acoustic horn transmits the vibration energy of ultrasonic transducer to the application area and amplifies the oscillation amplitude. In the present study exponential horns with rectangular cross-section for application in ultrasonic assisted grinding process are designed and analyzed. An analytical approach is applied to model this type of horns. For evaluating the analytical model, some acoustic horns are designed using analytical method and then analyzed by the finite-element method (FEM) in ANSYS. Then, the design parameters such as resonance frequency and amplification factor are compared and verified. A very good agreement is obtained between the results of analytical modeling and those of FEM simulation. Moreover, a horn-workpiece assembly for applying in ultrasonic assisted grinding is simulated.

**Keywords:** Exponential Acoustic Horns with Rectangular Cross-Section, Analytical Modeling, FEM, Ultrasonic Assisted Grinding.

به ولتاژ فرکانس بالا ( $15\text{--}100\text{ kHz}$ ) تبدیل می‌کند. ولتاژ فرکانس بالا جهت تحریک مکانیکی ترانس迪وسر استفاده می‌شود. ترانس迪وسر آلتراسونیک انرژی الکتریکی دریافت شده از ژنراتور را به نوسانات مکانیکی تبدیل می‌کند. سپس ارتعاشات مکانیکی انتهای ترانس迪وسر توسط متمنکرکننده به ناحیه هدف انتقال می‌یابد. ناحیه هدف ممکن است منطقه ماشین کاری، برش یا جوشکاری باشد. علاوه بر آن متمنکرکننده، دامنه نوسانات ورودی را بزرگنمایی کرده تا دامنه نوسان در خروجی متمنکرکننده، برای انجام عملیات مورد نظر در حد کافی تقویت شده باشد. در کاربردهای مختلف بسته به شرایط عملکردی، لازم است متمنکرکننده‌های متفاوت و با هندسه‌ها و بزرگنمایی‌های مختلفی طراحی و ساخته شوند. از طرف دیگر، متمنکرکننده آلتراسونیک باید به صورتی طراحی شود که تشدید (رزنانس) در مجموعه ترانس迪وسر-متمنکرکننده ایجاد شود، به عبارتی دیگر ترانس迪وسر و متمنکرکننده آلتراسونیک باید در فرکانس یکسانی به حالت تشدید برسند [۳]. از این رو طراحی و آنالیز متمنکرکننده‌های آلتراسونیک فرایندی بسیار مهم بوده و پیش از مرحله ساخت امری اجتناب ناپذیر می‌باشد. شکل هندسی، فرکانس عملکردی و خواص ماده متمنکرکننده، پارامترهای تعیین کننده‌ای هستند که بر طراحی متمنکرکننده تأثیر می‌گذارند. شکل‌های متداولی که در صنعت برای متمنکرکننده‌ها مورد استفاده قرار می‌گیرد عبارتند از: استوانه‌ای، پله‌ای، مخروطی، نمایی و غیره. امین و همکاران [۷] طراحی متمنکرکننده‌های ارتعاشی برای ماشین کاری آلتراسونیک را با استفاده از طراحی به کمک کامپیوتر و آنالیز المان محدود بررسی کردند. آنها شکلی از متمنکرکننده با قسمت مخروطی در بالا و استوانه‌ای در پایین را برای ماشین کاری آلتراسونیک پیشنهاد نمودند. همچنین آنها برای رسیدن به بیشینه بزرگنمایی و نرخ براده برداری بیشتر و با در نظر گرفتن تنش تسلیم ایمن ماده، متمنکرکننده پیشنهادی خود را بهینه کردند. ژاوو و همکاران [۸] روش شبکه<sup>۴</sup> را برای طراحی متمنکرکننده بکار گرفتند. بانگستون و همکاران [۹] از آنالیز المان محدود جهت بهینه‌سازی شکل متمنکرکننده ارتعاشی و ایجاد تطابق امپدانسی با هوای محیط

## ۱- مقدمه

ارتعاشات آلتراسونیک به طور رو به گسترشی در زمینه‌های کاربردی مختلفی از جمله صنعت، پزشکی، زیست‌شناسی و غیره بکار گرفته شده است [۱]. ماشین کاری، برش و جوشکاری آلتراسونیک نمونه‌هایی از کاربردهای آلتراسونیک در فرایندهای صنعتی هستند [۳،۲]. علاوه بر آن تکنولوژی آلتراسونیک کاربردهای جدیدی در فرایندهای ماشین کاری به همراه ارتعاشات آلتراسونیک<sup>۱</sup> مثل تراشکاری، فرزکاری، سوراخکاری و سنگزنانی به همراه آلتراسونیک پیدا کرده است. در فرایند ماشین کاری به همراه آلتراسونیک، ارتعاشات آلتراسونیک بر سینماتیک برادری از قطعه کار، برهم نهی می‌شود. بسته به نوع ماشین کاری، ارتعاشات آلتراسونیک ممکن است به ابزار یا قطعه کار اعمال شود. در فرایندهایی چون تراشکاری و سوراخکاری به همراه آلتراسونیک، ارتعاشات آلتراسونیک معمولاً به ابزار اعمال می‌شود. در حالی که در فرایندهایی مانند فرزکاری یا سنگزنانی به همراه آلتراسونیک، ارتعاشات آلتراسونیک معمولاً به قطعه کار اعمال می‌شود. تحقیقات گذشته نشان داده است که اعمال ارتعاشات فرکانس بالا در فرایندهای ماشین کاری به طور قابل ملاحظه‌ای فرایند تشکیل براده را تسهیل کرده و با کاهش نیروهای ماشین کاری و بهبود عمر ابزار و زبری سطح، راندمان برش را افزایش می‌دهد [۶-۴]. در فرایندهای صنعتی از جمله ماشین کاری، برش و جوشکاری آلتراسونیک، سیستم آلتراسونیک از یک ژنراتور مولد توان، ترانس迪وسر و متمنکرکننده تشکیل شده است (شکل ۱).



شکل ۱ شماتیک یک سیستم آلتراسونیک

ژنراتور مولد توان، ولتاژ فرکانس پایین برق شهری (۵۰ Hz) را

- 2. CAD
- 3. FEM
- 4. Four-End network method

تحلیلی کامل برای محاسبه پارامترهای ارتعاشی متمنکرزننده‌های با پروفیل نمایی و سطح مقطع مستطیل شکل ارائه شده است. قابل ذکر است که معادلات تحلیلی استخراج شده می‌توانند در کاربردهای دیگر این نوع متمنکرزننده نیز مورد استفاده قرار گیرند. علاوه بر آن در این تحقیق جهت ارزیابی حل تحلیلی، چند نمونه متمنکرزننده مختلف به روش تحلیلی طراحی و سپس مدل‌سازی شده و در نرمافزار المان محدود انسیس شبیه‌سازی مودال می‌شوند و پارامترهای ارتعاشی آنها در طراحی شامل فرکانس تشدید و ضریب بزرگنمایی، با مقادیر حاصل از شبیه‌سازی المان محدود مقایسه می‌شود.

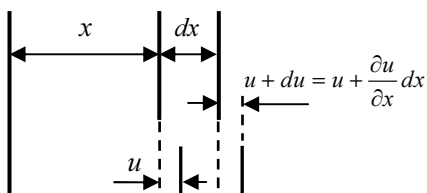
## ۲- طراحی متمنکرزننده ارتعاشی

عملکرد مهم یک متمنکرزننده ارتعاشی در یک سیستم آلتراسونیک تقویت دامنه نوسانات به سطحی است که مناسب برای کاربرد باشد. برای مثال در ماشین‌کاری آلتراسونیک یا ماشین‌کاری به همراه آلتراسونیک لازم است برای رسیدن به نرخ برآورده برداری بالاتر دامنه جابه‌جایی را تقویت نمود. متمنکرزننده همچنین به عنوان وسیله‌ای جهت انتقال انرژی ارتعاشی از ترانسیوسر به ناحیه هدف عمل می‌کند. از آنجا که نوسانات مکانیکی از انتهای متمنکرزننده به ناحیه هدف منتقل می‌شود از این رو هندسه سطح انتهای متمنکرزننده در انتقال ارتعاشات بسیار تأثیرگذار می‌باشد. برای مثال در فرایند جوش‌کاری پلاستیک آلتراسونیک، متمنکرزننده ارتعاشی در انتقال انرژی ارتعاشی مورد نیاز برای حرارت دهی موضعی به ناحیه فصل مشترک اتصال جوش‌کاری نقش کلیدی را ایفا می‌کند. از این رو در فرایند جوش‌کاری آلتراسونیک سطح انتهایی متمنکرزننده به گونه‌ای طراحی می‌شود که هندسه آن منطبق بر سطح قطعه جوش‌کاری باشد. علاوه بر آن، متمنکرزننده آلتراسونیک باید در فرکانس کاری سیستم آلتراسونیک به حالت تشدید (ریزنانس) رسیده تا بیشینه دامنه نوسان حاصل شود. از این رو محاسبه طول ریزنانس صحیح متمنکرزننده در طراحی بسیار مهم است. ضریب بزرگنمایی به عنوان نسبت دامنه نوسان خروجی به دامنه نوسان ورودی متمنکرزننده تعریف می‌شود. اصولاً ضریب بزرگنمایی به تغییرات سطح مقطع متمنکرزننده در طول آن، وابسته است. برای یک متمنکرزننده استوانه‌ای، ضریب بزرگنمایی برابر با ۱ است زیرا سطح مقطع آن یکنواخت می‌باشد. در حالی که با

استفاده کردند. لی و هونگ [۱۰] مدلی جهت آنالیز دینامیکی متمنکرزننده ارائه نمودند. یاداوا [۱۱] پروسه آنالیز المان محدود یک متمنکرزننده ارتعاشی برای فرایند ماشین‌کاری چرخشی به همراه آلتراسونیک<sup>۱</sup> را ارائه نمود. امینی و همکاران [۵] چندین طرح مختلف متمنکرزننده-ابزار را برای فرایند تراشکاری به همراه آلتراسونیک بررسی و آنالیز نمودند. شکل متمنکرزننده مورد استفاده آنها استوانه‌ای-مخروطی-استوانه‌ای و با سطح مقطع دایروی بود. آنها به این نتیجه رسیدند که پیکربندی مجموعه متمنکرزننده-ابزار و یا به عبارتی محل اتصال ابزار به متمنکرزننده نقش بسیار مهمی در عملکرد ارتعاشی سیستم ایفا می‌کند. همچنین یک پیکره بندی نامناسب متمنکرزننده-ابزار ممکن است باعث برهمنی یک مد خمی بر مد ارتعاشی طولی اصلی شده و سبب از بین رفتن مزایای فرایند تراشکاری به همراه آلتراسونیک شود.

از مروری بر مقالات مشاهده می‌شود که طراحی و آنالیز متمنکرزننده ارتعاشی برای زمینه‌های مختلف کاربرد آلتراسونیک امری لازم است. همچنین طراحی صحیح و بهینه متمنکرزننده می‌تواند سبب بهبود عملکرد فرایند هدف شود. فرایند سنگ زنی به همراه آلتراسونیک، فرایند نوپایی است که به منظور صنعتی شدن آن لازم است اجزای مرتبط با آن بیشتر تست و بررسی شوند. یکی از اجزای بسیار مهم این فرایند طراحی متمنکرزننده و چگونگی طرح اتصال قطعه کار به متمنکرزننده در آن می‌باشد. تاکنون تحقیقات چندانی در زمینه طراحی متمنکرزننده برای این فرایند انجام نشده است. از طرفی دیگر در میان اشکال هندسی مختلف متمنکرزننده‌ها، هندسه نمایی به دلیل ایجاد تمرکز تنش کم و توزیع تنش یکنواخت در طول متمنکرزننده، هندسه‌ای شناخته شده است [۱۲]. همچنین بسته به کاربرد، سطح مقطع این نوع متمنکرزننده می‌تواند دایروی، مربعی، مستطیلی و یا از اشکال دیگری باشد. در این پژوهش متمنکرزننده با پروفیل نمایی و مقطع مستطیل شکل به دلیل داشتن هندسه مناسب برای بکارگیری در فرایند سنگ زنی به همراه آلتراسونیک مطرح، طراحی و آنالیز می‌شود. از آنجا که در منابع برای این هندسه متمنکرزننده، روابط پارامتریک تعیین کننده ویژگی‌های هندسی- ارتعاشی آن استخراج نشده است، لذا ابتدا حل

### 1. Rotary Ultrasonic Machining (RUM)

شکل ۳ جایه‌جایی المان  $d(x)$  در قطعه ارتعاشی

$$\varepsilon = \frac{(u + du) - u}{dx} = \frac{\frac{\partial u}{\partial x} dx}{dx} = \frac{\partial u}{\partial x} \quad (1)$$

از قانون دوم نیوتون  $\sum F = m \cdot a$  و رابطه تنش-نیرو  $F = \sigma \cdot A$ ، معادله حرکت برای المان  $dx$  به صورت رابطه (۲) نوشته می‌شود

$$\left( \sigma + \frac{\partial \sigma}{\partial x} dx \right) \left( A + \frac{\partial A}{\partial x} dx \right) - \sigma \cdot A = m \cdot a \quad (2)$$

در رابطه (۲)  $m$  و  $a$  به ترتیب جرم و شتاب المان هستند. علاوه بر آن،  $m \cdot a$  می‌تواند به شکل رابطه (۳) نیز محاسبه شود

$$m \cdot a = \left( \frac{A + A + \frac{\partial A}{\partial x} dx}{2} \right) dx \cdot \rho \cdot \frac{\partial^2 u}{\partial t^2} \quad (3)$$

از آنجا که  $A = A(x)$  بنا براین می‌توان رابطه (۴) را نوشت.

$$\frac{\partial A}{\partial x} = \frac{dA}{dx} \quad (4)$$

از ترکیب معادلات ۲-۴-۵ رابطه (۵) بدست می‌آید

$$\begin{aligned} A \frac{\partial \sigma}{\partial x} dx + \frac{\partial \sigma}{\partial x} \frac{dA}{dx} (dx)^2 + \sigma \frac{dA}{dx} dx &= \\ = Adx\rho \frac{\partial^2 u}{\partial t^2} + \frac{1}{2} \frac{dA}{dx} (dx)^2 \rho \frac{\partial^2 u}{\partial t^2} & \end{aligned} \quad (5)$$

با فرض اینکه  $0 \approx (dx)^2$  معادله (۵) به شکل رابطه (۶) ساده می‌شود.

$$A \frac{\partial \sigma}{\partial x} dx + \sigma \frac{dA}{dx} dx = Adx\rho \frac{\partial^2 u}{\partial t^2} \quad (6)$$

وابستگی تنش  $\sigma$  به کرنش نسبی  $\varepsilon$  بوسیله قانون هوک بیان می‌شود و در رابطه (۷) نشان داده شده است.

$$\sigma = E \cdot \varepsilon = E \frac{\partial u}{\partial x} \quad (7)$$

کاهش سطح مقطع متمنکرکننده در راستای طول آن، ضریب بزرگنمایی افزایش می‌یابد. بنابراین نسبت بزرگنمایی به هندسه متمنکرکننده بستگی دارد. استخراج روابط و معادلات تحلیلی مربوط به هرگونه متمنکرکننده، نیازمندی‌های مربوط به طراحی و محاسبه پارامترهای هندسی آن نوع متمنکرکننده را برطرف می‌سازد. در بخش بعد، حل تحلیلی یک متمنکرکننده نمایی با سطح مقطع مستطیل شکل ارائه می‌شود.

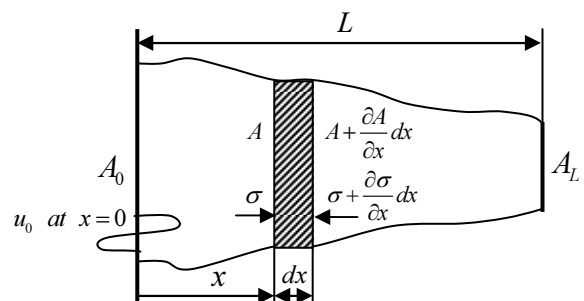
**۱- حل تحلیلی برای ارتعاش طولی یک متمنکرکننده**  
برای بدست آوردن معادلات حاکم بر ارتعاشات طولی در یک متمنکرکننده، فرضیه‌های زیر انجام می‌شود [۱۳، ۱]

- ارتعاشات متمنکرکننده ایستا و سینوسی است. قابل ذکر است که برای تشکیل امواج ایستا باید طول متمنکرکننده مضرب صحیحی از  $\lambda/2$  باشد.
- امواج در طول متمنکرکننده و به صورت مسطح منتشر می‌شوند.

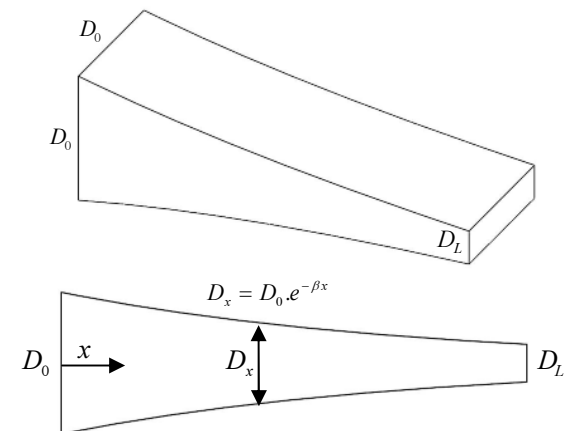
- از اتلاف انرژی در ماده متمنکرکننده صرفنظر می‌شود.

- ماده متمنکرکننده همسانگرد و هموزن است.
- از تغییرات ناگهانی در سطح مقطع مقطع متمنکرکننده و تمرکز تنش اجتناب می‌شود.

ابتدا شماتیک یک قطعه با مساحت مقطع متغیر  $A = A(x)$  ترسیم شده (شکل ۲) و یک المان از آن با ضخامت  $dx$  به فاصله  $x$  از مینا در نظر گرفته می‌شود (قسمت هاشورخورده شکل ۲). جایه‌جایی ارتعاشی در متمنکرکننده باعث تغییر شکل، جایه‌جایی و کرنش در المان می‌شود. اگر  $u = f(x, t)$  جایه‌جایی المان  $dx$  از موقعیت خود در قطعه باشد، با توجه به شکل ۳، کرنش المان از رابطه (۱) بدست می‌آید.



شکل ۲ شماتیک یک قطعه ارتعاشی با مساحت مقطع متغیر



شکل ۴ شماتیک متمنکرزننده نمایی با سطح مقطع مستطیل شکل

منحنی پروفیل طولی متمنکرزننده نمایی از رابطه (۱۴) بدست می‌آید.

$$D(x) = D_0 e^{-\beta x} \quad (14)$$

در این رابطه  $D_0$  ضخامت ابتدای متمنکرزننده و  $\beta$  ضریب شکل متمنکرزننده است. همچنین پهنای متمنکرزننده ثابت و برابر با  $D_0$  می‌باشد، بنابراین سطح مقطع آن از رابطه (۱۵) محاسبه می‌شود.

$$A(x) = D(x) \cdot D_0 = D_0^2 e^{-\beta x} \quad (15)$$

و رابطه (۱۶) شکل ساده شده آن می‌باشد.

$$A(x) = A_0 e^{-\beta x} \quad (16)$$

با جایگذاری کردن رابطه (۱۶) در معادله دیفرانسیل رابطه (۱۳)، معادله دیفرانسیل (۱۷) بدست می‌آید.

$$\frac{d^2 \xi_0}{dx^2} + (-\beta) \frac{d\xi_0}{dx} + k^2 \xi_0 = 0 \quad (17)$$

رابطه (۱۸) حل عمومی این معادله دیفرانسیل را نشان می‌دهد.

$$\xi_0 = A e^{\frac{\beta}{2}x} (C \cos Dx + E \sin Dx) \quad (18)$$

ثوابت ( $A, C, D, E$ ) با استفاده از شرایط مرزی تعیین می‌شوند. روابط (۲۲-۱۹) مربوط به شرایط مرزی مسئله هستند. همچنین روابط (۲۱) و (۲۲) از آنجا بدست می‌آیند که دامنه ( $\xi_0$ ) در ابتدا و انتهای متمنکرزننده دارای ماقریم موضعی است.

$$\xi_0(0) = u_0 \quad (19)$$

با مشتق‌گیری از رابطه (۷) نسبت به  $x$  رابطه (۸) بدست می‌آید.

$$\frac{\partial \sigma}{\partial x} = E \frac{\partial^2 u}{\partial x^2} \quad (8)$$

با جایگذاری کردن روابط (۷) و (۸) در رابطه (۶)، معادله دیفرانسیل رابطه (۹) بدست می‌آید.

$$E \frac{\partial^2 u}{\partial x^2} + \frac{E}{A} \frac{dA}{dx} \frac{\partial u}{\partial x} = \rho \frac{\partial^2 u}{\partial t^2} \quad (9)$$

از طرف دیگر سرعت عبور موج الاستیک طولی از معادله نیوتون-لاپلاس از رابطه (۱۰) بدست می‌آید.

$$C = \sqrt{\frac{E}{\rho}} \quad (10)$$

از این رو روابط (۱۱) از روابط (۹) و (۱۰) بدست می‌آید.

$$\frac{\partial^2 u}{\partial x^2} + \frac{1}{A} \frac{dA}{dx} \frac{\partial u}{\partial x} = \frac{1}{C^2} \frac{\partial^2 u}{\partial t^2} \quad (11)$$

بر اساس فرضیاتی که قبلاً ذکر شدند، ارتعاش متمنکرزننده سینوسی است، بنابراین می‌توان جایه‌جایی هر نقطه در فاصله  $x$  و زمان  $t$  در متمنکرزننده ( $u = f(x, t)$ ) را به صورت رابطه (۱۲) تعریف کرد.

$$u = \xi_0 \sin \omega t \quad (12)$$

در رابطه (۱۲)،  $\xi_0$  دامنه ارتعاش می‌باشد. از آنجا که طول متمنکرزننده به اندازه‌ایست که شکل موج ایستا بوجود آید، بنابراین  $\xi_0$  تنها تابعی از مکان  $x$  می‌باشد و یا به عبارتی دیگر ( $\xi_0 = f(x)$ ). با جایگذاری کردن معادله (۱۲) در معادله (۱۱) و انجام ساده‌سازی معادله دیفرانسیل (۱۳) بدست می‌آید.

$$\frac{d^2 \xi_0}{dx^2} + \frac{1}{A} \frac{dA}{dx} \frac{d\xi_0}{dx} + k^2 \xi_0 = 0 \quad (13)$$

در این رابطه  $k = \omega/C$  شماره موج الاستیک طولی می‌باشد. معادله (۱۳) معادله دیفرانسیلی است که از حل آن دامنه ارتعاشات هر نقطه در طول متمنکرزننده بدست می‌آید.

۲-۱-۱-۲- استخراج معادلات حاکم بر ارتعاش طولی یک متمنکرزننده نمایی با سطح مقطع مستطیل شکل در این بخش معادله دیفرانسیل ارتعاش طولی متمنکرزننده برای یک متمنکرزننده نمایی با سطح مقطع مستطیل شکل حل می‌شود. شماتیک این نوع متمنکرزننده در شکل ۴ نشان داده شده است.

متمنکرکننده ( $\lambda$ ) را می‌توان به شکل رابطه (۲۷) بدست آورد.

$$\lambda = \frac{2\pi}{\left(\frac{4\pi^2 f^2}{C^2} - \frac{\beta^2}{4}\right)^{1/2}} \quad (27)$$

معادله (۲۷) نشان می‌دهد که طول موج ( $\lambda$ ) در یک متمنکرکننده ارتعاشی به سرعت عبور موج الاستیک طولی ( $C$ ), فرکانس رزنانس ( $f$ ) و فاکتور شکل متمنکرکننده ( $\beta$ ) بستگی دارد. همچنین ضریب بزرگنمایی متمنکرکننده نیز از رابطه (۲۸) محاسبه می‌شود.

$$N = \frac{u_L}{u_0} = \frac{u_0 e^{\frac{\beta L}{2}} (-1)}{u_0} = -e^{\frac{\beta L}{2}} \quad (28)$$

علاوه بر آن، از معادله (۱۴) می‌توان رابطه (۲۹) را نوشت.

$$\frac{D_L}{D_0} = e^{-\beta L} \quad (29)$$

از ترکیب معادلات (۲۸) و (۲۹) ضریب بزرگنمایی متمنکرکننده ( $N$ ) بدست می‌آید.

$$N = -\sqrt{\frac{D_0}{D_L}} \quad (30)$$

علامت منفی در معادله (۳۰) نشان می‌دهد که جابه‌جایی ابتدا و انتهای متمنکرکننده در جهت مخالف یکدیگر است. با ترکیب معادلات (۲۵) و (۲۸) فاکتور شکل متمنکرکننده ( $\beta$ ) از رابطه (۳۱) محاسبه می‌شود.

$$\beta = \frac{2k \ln(-N)}{\left[\pi^2 + (\ln(-N))^2\right]^{1/2}} = \frac{4\pi f \ln(-N)}{C(\pi^2 + (\ln(-N))^2)^{1/2}} \quad (31)$$

## ۲-۱-۲- تأثیر پارامترهای طراحی بر هندسه متمنکرکننده

### ۲-۱-۲-۱- جنس ماده متمنکرکننده

بر اساس معادله (۱۰) پارامترهای ماده متمنکرکننده شامل مدول الاستیسیته ( $E$ ) و چگالی ( $\rho$ ) هستند که بر سرعت عبور موج الاستیک طولی ( $C$ ) تأثیر می‌گذارند. همچنین معادله (۲۶)، رابطه بین سرعت عبور موج الاستیک طولی و طول متمنکرکننده را نشان می‌دهد. از معادلات (۱۰) و (۲۶) این نتیجه حاصل می‌شود که با افزایش نسبت  $E/\rho$ ، مقادیر سرعت عبور موج الاستیک طولی در متمنکرکننده ( $C$ ) و طول متمنکرکننده ( $L$ ) هر دو افزایش می‌یابند. همچنین از معادلات (۱۰) و (۳۱) واضح است که با افزایش نسبت  $E/\rho$ ، سرعت عبور موج الاستیک طولی در متمنکرکننده ( $C$ ) افزایش یافته و فاکتور شکل ( $\beta$ ) کاهش می‌یابد.

$$\xi_0(L) = u_{0L} \quad (20)$$

$$\left. \frac{d\xi_0}{dx} \right|_{x=0} = 0 \quad (21)$$

$$\left. \frac{d\xi_0}{dx} \right|_{x=L} = 0 \quad (22)$$

با جایگذاری کردن رابطه (۱۸) در معادله دیفرانسیل رابطه (۱۷) و استفاده از شرایط مرزی (۱۹) و (۲۱)،  $\xi_0$  بدست می‌آید.

$$\xi_0 = u_0 e^{\frac{\beta x}{2}} \left[ \cos(k^2 - \frac{\beta^2}{4})^{1/2} x + \sin(k^2 - \frac{\beta^2}{4})^{1/2} x \right] \frac{(-\beta/2)}{(k^2 - \frac{\beta^2}{4})^{1/2}} \quad (k > \frac{\beta}{2}) \quad (23)$$

اکنون با جایگذاری کردن رابطه (۲۳) در رابطه (۱۲)، جایه‌جایی هر نقطه در فاصله  $x$  و لحظه زمانی  $t$  در متمنکرکننده از رابطه (۲۴) بدست می‌آید.

$$u = u_0 e^{\frac{\beta x}{2}} \left[ \cos(k^2 - \frac{\beta^2}{4})^{1/2} x + \frac{(-\beta/2)}{(k^2 - \frac{\beta^2}{4})^{1/2}} \sin(k^2 - \frac{\beta^2}{4})^{1/2} x \right] \sin \omega t \quad (k > \frac{\beta}{2}) \quad (24)$$

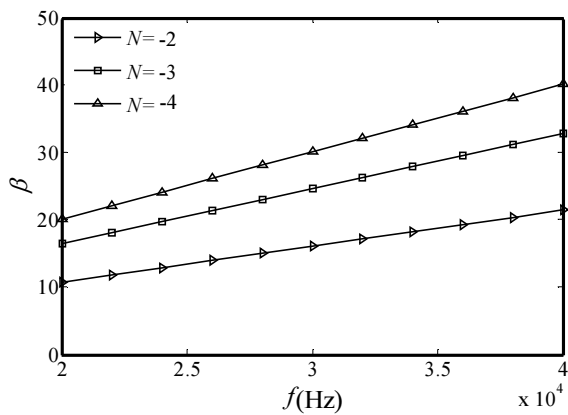
با مشتق‌گیری از معادله (۲۳) نسبت به  $x$  و استفاده از شرط مرزی معادله (۲۲)، طول متمنکرکننده ( $L$ ) از رابطه (۲۵) بدست می‌آید.

$$L = \frac{\pi}{(k^2 - \frac{\beta^2}{4})^{1/2}} \quad (25)$$

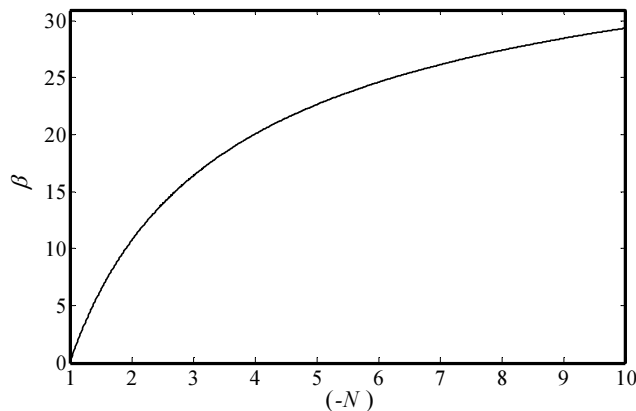
همچنین از ترکیب معادله (۲۵) و (۲۶) نیز نوشت.

$$L = \frac{\pi}{\left(\frac{4\pi^2 f^2}{C^2} - \frac{\beta^2}{4}\right)^{1/2}} \quad (26)$$

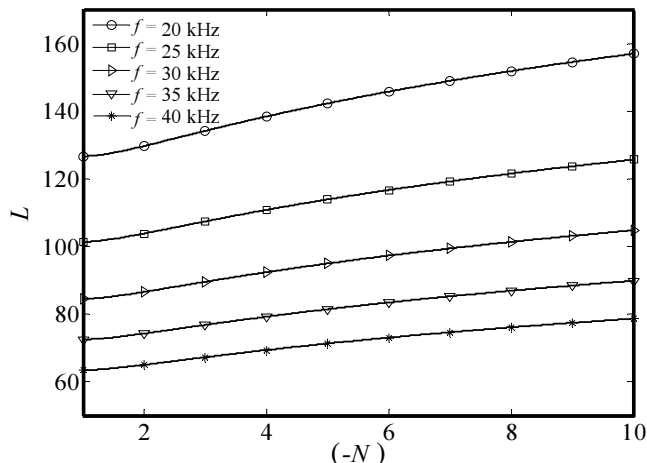
از آنجا که طول هورن برابر با نصف طول موج الاستیک طولی است ( $L = \lambda/2$ )، از این رو طول موج الاستیک طولی در



شکل ۶ تأثیر فرکانس تشیدید بر فاکتور شکل  
( $\rho=2810 \text{ kg/m}^3$ ،  $E=72 \text{ GPa}$ )



شکل ۷ تأثیر ضریب بزرگنمایی بر فاکتور شکل



شکل ۸ تأثیر ضریب بزرگنمایی بر طول متمنکرکننده  
( $\rho=2810 \text{ kg/m}^3$ ،  $E=72 \text{ GPa}$ )

مشاهده می‌شود که با افزایش ضریب بزرگنمایی، فاکتور شکل افزایش پیدا می‌کند.

#### ۲-۲-۱-۲- فرکانس تشیدید (رزناس)

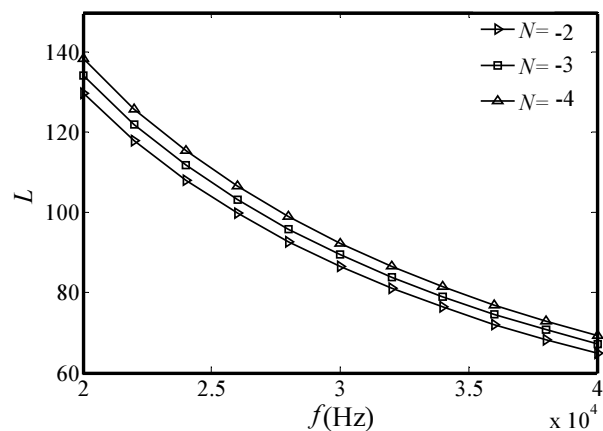
فرکانس تشیدید ( $f$ ) پارامتر مهمی در طراحی متمنکرکننده محاسبه شده و بر هندسه متمنکرکننده تأثیر می‌گذارد. معادله (۲۶)، رابطه بین فرکانس تشیدید ( $f$ ) و طول هورن ( $L$ ) را نشان می‌دهد. در شکل ۵ منحنی تأثیر فرکانس تشیدید بر طول متمنکرکننده برای سه بزرگنمایی مختلف نشان داده شده است. مشاهده می‌شود که با یک ضریب بزرگنمایی ثابت، اگر فرکانس تشیدید افزایش یابد، طول متمنکرکننده کاهش پیدا می‌کند.

همچنین معادله (۳۱)، رابطه بین فرکانس تشیدید ( $f$ ) و فاکتور شکل ( $\beta$ ) را نشان می‌دهد. منحنی‌های فاکتور شکل-فرکانس تشیدید برای سه بزرگنمایی مختلف در شکل ۶ نشان داده شده است. واضح است که با افزایش فرکانس تشیدید، ضریب شکل افزایش پیدا می‌کند.

#### ۳-۲-۱-۲- ضریب بزرگنمایی

ضریب بزرگنمایی نیز از دیگر پارامترهایی است که بر هندسه متمنکرکننده تأثیر می‌گذارد. با توجه به رابطه (۳۰)، ضخامت‌های ابتدا و انتهای متمنکرکننده ( $D_L, D_0$ )، ضریب بزرگنمایی را تعیین می‌کنند. همچنین رابطه ضریب بزرگنمایی ( $N$ ) و فاکتور شکل ( $\beta$ ) از معادله (۳۱) بدست می‌آید. منحنی تغییرات فاکتور شکل نسبت به ضریب بزرگنمایی برای ( $f=20 \text{ kHz}$ ،  $\rho=2810 \text{ kg/m}^3$ ،  $E=72 \text{ GPa}$ ) در

شکل ۷ نشان داده شده است.



شکل ۵ تأثیر فرکانس تشیدید بر طول متمنکرکننده  
( $\rho=2810 \text{ kg/m}^3$ ،  $E=72 \text{ GPa}$ )

به مشخصات مواد در نرم‌افزار وارد می‌شود.

متمنکرزننده	۱	۲	۳	
آلومینیوم	تیتانیوم	فولاد	چگالی ماده	جنس ماده
۴۴۳۰	۲۸۱۰	۷۸۵۰	$\rho$ ( $\text{kg}/\text{m}^3$ )	چگالی ماده
۱۱۳	۷۲	۲۰۰	$E(\text{GPa})$	مدول الاستیسیته
۳۰	۲۰	۴۰	$f(\text{kHz})$	فرکانس تشید
۳۶	۵۰	۲۲/۵	$D_0(\text{mm})$	ضخامت ابتدا
۹	۸	۱۰	$D_L(\text{mm})$	ضخامت انتهای
۲	۲/۵	۱/۵	$(N)$	* ضریب بزرگنمایی
۸۶/۲۰	۱۳۱/۸۲	۸۳/۶۲	$L(\text{mm})$	* طول
۱۶/۰۸۲	۱۳۹/۰۲	۱۲/۷۴۷	$\beta$	* فاکتور شکل

\* مقادیر این پارامترها با استفاده از روابط تحلیلی بدست آمده محاسبه شده‌اند.

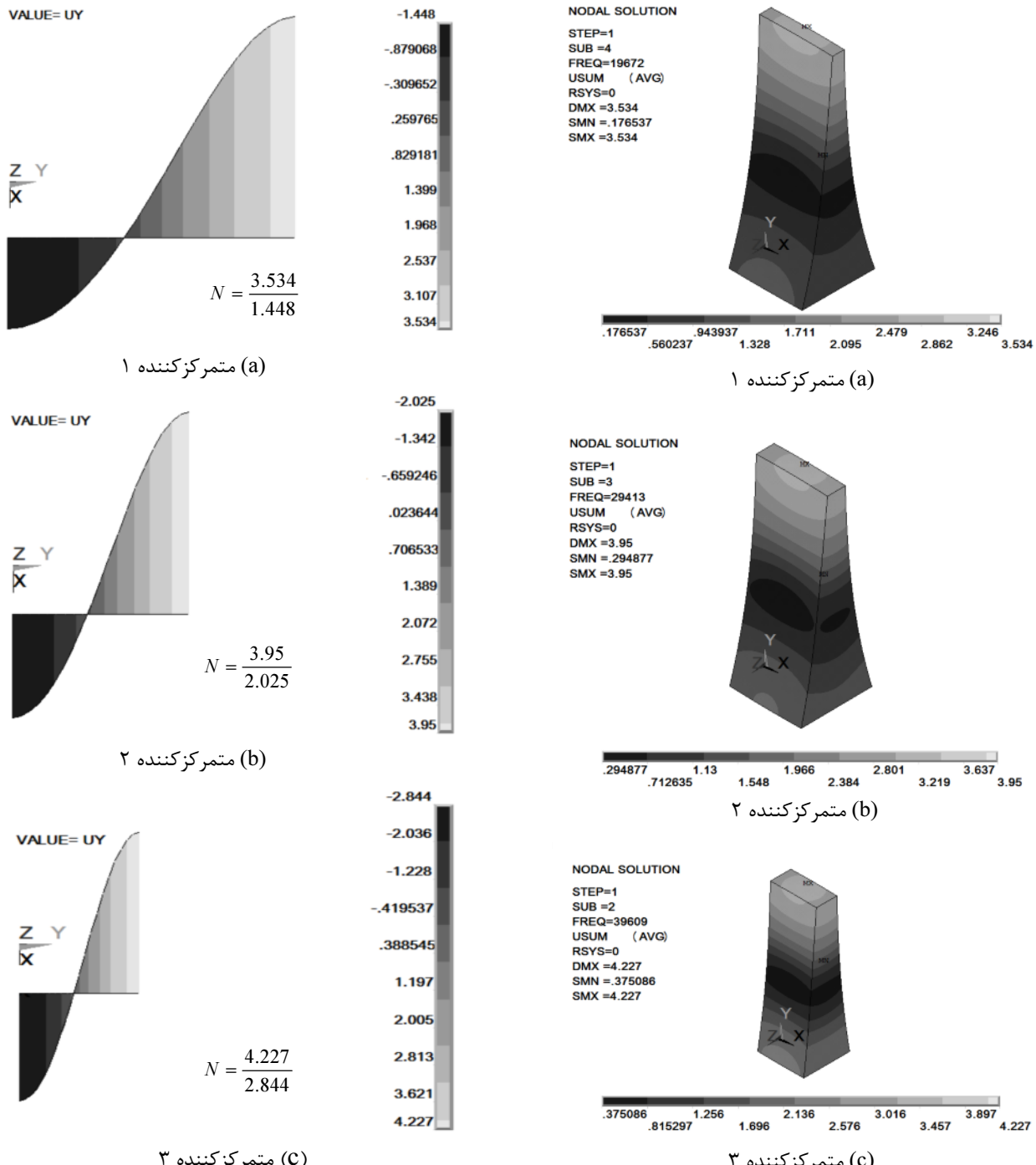
در آنالیز مodal انجام شده در این بخش، نسبت پواسون برای آلومینیوم، تیتانیوم و فولاد به ترتیب  $0.342$ ،  $0.332$  و  $0.29$  وارد شد. برای شبکه‌بندی مدل از المان سالید ۹۵ استفاده گردید. قابل ذکر است که این نوع المان می‌تواند برای شبیه‌سازی تغییر شکل‌های الاستیک در آنالیز مodal سازه‌های سه بعدی استفاده شود و در مقایسه با سایر المان‌ها از جمله سالید ۴۵ باعث ایجاد حجم محاسبات بیشتر و نتایج دقیق‌تری می‌گردد. در شبیه‌سازی المان محدود متمنکرزننده‌های ۱، ۲، ۳ و ۴ از روش شبکه‌بندی دستی<sup>۱</sup> برای المان‌بندی قطعات استفاده گشت و تعداد ۵۰۰۰ المان برای هر قطعه ایجاد شد. همچنین برای آنالیز مodal، روش استخراج مود لانکروس به کار گرفته شد. نتایج آنالیز مodal شامل گراف‌های مربوط به فرکانس تشید و دامنه جابه‌جایی هستند که به ترتیب در شکل‌های ۹ و ۱۰ نشان داده شده‌اند. شکل ۹ فرکانس طبیعی ارتعاشات طولی و نسبت جابه‌جایی نواحی مختلف هر کدام از متمنکرزننده‌ها را نشان می‌دهد. شکل‌های ۹a و ۹b به ترتیب مربوط به متمنکرزننده‌های ۱، ۲ و ۳ هستند. فرکانس طبیعی متمنکرزننده‌های ۱، ۲ و ۳ در آنالیز مodal به ترتیب ۹۰۶۷۲، ۱۹۶۷۲ و ۳۹۶۰۹ بدست آمده است. در شکل ۱۰ نمودارهای دو بعدی مربوط به جابه‌جایی نسبی هر نقطه از متمنکرزننده در راستای طول آن در آنالیز مodal نشان داده شده است.

#### 1. Mapped mesh

از ترکیب معادلات (۲۶) و (۳۱) می‌توان رابطه ضریب بزرگنمایی ( $N$ ) و طول متمنکرزننده ( $L$ ) را بدست آورد. با رسم منحنی طول متمنکرزننده- ضریب بزرگنمایی در فرکانس‌های مختلف مشاهده می‌شود که در یک فرکانس تشدید ثابت، با افزایش ضریب بزرگنمایی، طول متمنکرزننده نیز افزایش می‌یابد (شکل ۸).

#### ۲-۲- مقایسه نتایج روابط تحلیلی با نتایج شبیه‌سازی المان محدود متمنکرزننده در نرم‌افزار انسیس

برای ارزیابی حل تحلیلی، سه نمونه متمنکرزننده مختلف به روش تحلیلی طراحی و مدل‌سازی شده و در نرم‌افزار المان محدود انسیس آنالیز مodal می‌شوند و پارامترهای ارتعاشی آنها شامل فرکانس تشید و ضریب بزرگنمایی با مقادیر حاصل از شبیه‌سازی المان محدود مقایسه می‌شود. پارامترهای طراحی مربوط به سه متمنکرزننده مورد بررسی در جدول ۱ نشان داده شده است. متمنکرزننده‌ها به ترتیب از جنس آلومینیوم، تیتانیوم و فولاد در نظر گرفته شده‌اند. چگالی ماده ( $\rho$ )، مدول الاستیسیته ( $E$ )، فرکانس تشید ( $f$ ) و ضخامت ابتدا و انتهای متمنکرزننده ( $D_L, D_0$ ) پارامترهای ورودی محاسبه می‌شوند. ضریب بزرگنمایی ( $N$ )، طول متمنکرزننده ( $L$ ) و فاکتور شکل ( $\beta$ ) در جدول ۱ پارامترهای خروجی هستند که با استفاده از روابط تحلیلی بدست آمده در بخش ۱-۱-۲ محاسبه شده‌اند. پارامترهای هندسی متمنکرزننده‌ها شامل ضخامت ابتدا و انتهای، طول و فاکتور شکل می‌باشد. اکنون با داشتن مقادیر این پارامترها می‌توان مدل هندسی متمنکرزننده را ترسیم کرد. علاوه بر آن پارامترهای ارتعاشی متمنکرزننده‌ها عبارتند از: ۱- فرکانس تشید و ۲- ضریب بزرگنمایی، که در کارکرد آنها نقش بسیار مهمی دارند. شبیه‌سازی المان محدود نیز شامل مدل‌سازی متمنکرزننده‌ها و انجام آنالیز المان محدود مodal آنها در نرم‌افزار انسیس است. ابتدا مدل هندسی سه بعدی متمنکرزننده‌ها در نرم‌افزار ترسیم و سپس خواص مواد، شبکه‌بندی و نوع آنالیز تعریف می‌شوند. در شبیه‌سازی المان محدود متمنکرزننده‌ها، مدل ماده سازه‌ای-خطی-الاستیک-ایزوتروپیک تعریف می‌شود. مدول الاستیسیته ( $E$ )، چگالی ( $\rho$ ) و نسبت پواسون ( $\nu$ ) پارامترهای خواص ماده هستند و مقادیر آنها در بخش مربوط



شکل ۹ نمودارهای دوبعدی جایه جایی نسبی متمنکزکننده‌ها در راستای طول آنها

با توجه به گراف‌های شکل ۱۰ واضح است که بیشینه جایه جایی نسبی، در انتهای متمنکزکننده و کمینه آن تقریباً در میانه متمنکزکننده واقع می‌شود. از آنجا که طول متمنکزکننده‌های طراحی شده در این مقاله

شکل ۹ فرکانس طبیعی ارتعاشات طولی و نسبت جایه جایی نواحی مختلف هر کدام از متمنکزکننده‌ها

شکلهای ۱۰a، ۱۰b و ۱۰c به ترتیب مربوط به متمنکزکننده‌های ۱، ۲ و ۳ هستند. در این شکل‌ها، محور y راستای طول متمنکزکننده و محور x دامنه جایه جایی طولی نسبی هر نقطه از متمنکزکننده را نشان می‌دهد.

آنالیز المان محدود مودال می‌شود. سپس اصلاح پارامترهای هندسی متمنکرکننده جهت رساندن مقادیر فرکانس طبیعی و ضریب بزرگنمایی آن به مقادیر مطلوب در طراحی، انجام خواهد شد. در جدول ۴ مقادیر پارامترهای ورودی و مقادیر پارامترهای هندسی محاسبه شده برای یک متمنکرکننده آلومینیومی با فرکانس طبیعی  $20\text{ kHz}$  و ضریب بزرگنمایی  $2$  نشان داده شده است.

همچنین در شکل‌های ۱۱ و ۱۲ نتایج شبیه‌سازی المان محدود آن شامل فرکانس طبیعی و جابه‌جایی نسبی متمنکرکننده نشان داده شده است. بر اساس شکل‌های ۱۱ و ۱۲، مقادیر فرکانس طبیعی و ضریب بزرگنمایی متمنکرکننده در آنالیز مودال به ترتیب برابر است با  $19824$  و  $1/175$ . روشن است که اندکی تفاوت بین این مقادیر با مقادیر مطلوب طراحی ( $f=20000\text{ Hz}$ ،  $N=2$ ) وجود دارد.

جدول ۲ مقایسه فرکانس طبیعی در حل تحلیلی و آنالیز المان محدود

٪ خطای نسبی	متمنکرکننده (المان محدود)	فرکانس طبیعی (تحلیلی)	فرکانس طبیعی (المان محدود)
۱/۶۷	۱۹۶۷۲	۲۰۰۰	۱
۲	۲۹۴۱۳	۳۰۰۰	۲
۰/۹۹	۳۹۶۰۹	۴۰۰۰	۳

جدول ۳ مقایسه ضریب بزرگنمایی در حل تحلیلی و آنالیز المان محدود

٪ خطای نسبی	متمنکرکننده (المان محدود)	ضریب بزرگنمایی (المان محدود)	ضریب بزرگنمایی (تحلیلی)
۲/۴۲	۲/۴۱	۲/۵	۱
۲/۵۱	۱/۹۵۱	۲	۲
۰/۹۴	۱/۴۸۶	۱/۵	۳

جدول ۴ مشخصات متمنکرکننده

آلمینیوم T6-۷۰۷۵	جنس ماده
۲۸۱۰	چگالی ( $\text{kg}/\text{m}^3$ )
۷۲	مدول الاستیسیته ( $E$ (GPa))
۲۰	فرکانس تشیدی ( $f$ (kHz))
۳۸	ضخامت ابتدا ( $D_0$ (mm))
۹/۵	ضخامت انتهای ( $D_L$ (mm))
۲	* ضریب بزرگنمایی ( $N$ )
۱۲۹/۵۹	* طول متمنکرکننده ( $L$ (mm))
۱۰/۶۹۷	* فاکتور شکل ( $\beta$ )

\* مقادیر این پارامترها با استفاده از روابط تحلیلی بدست آمده محاسبه شده‌اند.

$\lambda/2$  است. نقاط شکم ارتعاشی در ابتدا و انتهای هر متمنکرکننده واقع می‌شوند. نقطه گره نیز تقریباً در میانه متمنکرکننده واقع شده و دارای جابه‌جایی نسبی صفر می‌باشد. همچنین از تقسیم جابه‌جایی نسبی انتهای متمنکرکننده به ابتدای آن، ضریب بزرگنمایی بدست می‌آید. مقادیر ضریب بزرگنمایی برای متمنکرکننده‌های  $۲/۱$  و  $۳$  در آنالیز مودال به ترتیب  $۱/۹۵۱$ ،  $۲/۴۴۱$  و  $۱/۴۸۶$  بدست آمده است. برای مشخص کردن اختلاف نتایج حل تحلیلی و نتایج آنالیز المان محدود، در جدول ۲ میزان خطای نسبی مقادیر فرکانس طبیعی و در جدول ۳ میزان خطای نسبی ضریب بزرگنمایی برای هر کدام از متمنکرکننده‌ها محاسبه شده است.

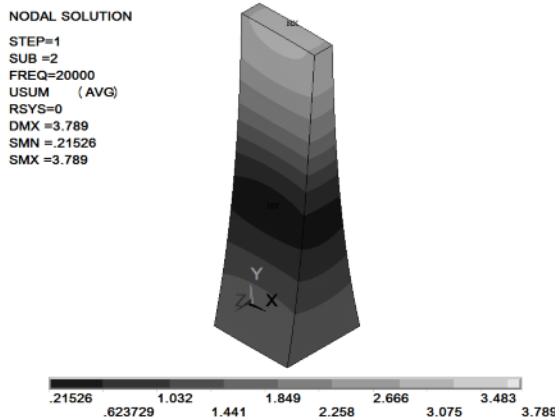
مشاهده می‌شود که مقادیر خطای نسبی در حد قابل قبولی پایین است. اختلاف موجود بین مقادیر تحلیلی و المان محدود به دلیل فرضیات و ساده‌سازی‌هایی است که در حل تحلیلی در نظر گرفته می‌شود. از جمله این که فرض شد امواج در طول متمنکرکننده به صورت مسطح (صفحه‌ای) منتشر می‌شوند. به عبارتی دیگر کرنش یک بعدی فرض شد در حالی که عملاً کرنش در هر سه جهت مختصات وجود دارد. قابل توجه است که آنالیز المان محدود ساده‌سازی‌های حل تحلیلی را نداشته و از این رو نتایج آن از دقت بالاتری برخوردار است. با این وجود آنالیز تحلیلی از جنبه‌های ذیل حائز اهمیت است:

- روابط بین پارامترهای مؤثر در طراحی متمنکرکننده را نشان داده و به طرح دید روشن تری نسبت به چگونگی طراحی متمنکرکننده می‌دهد.
- با استفاده از روابط تحلیلی می‌توان میزان تأثیر پارامترهای ورودی بر پارامترهای خروجی را مشخص کرد.
- با تقریب بسیار خوبی مقادیر پارامترهای هندسی متمنکرکننده را تعیین می‌کند.

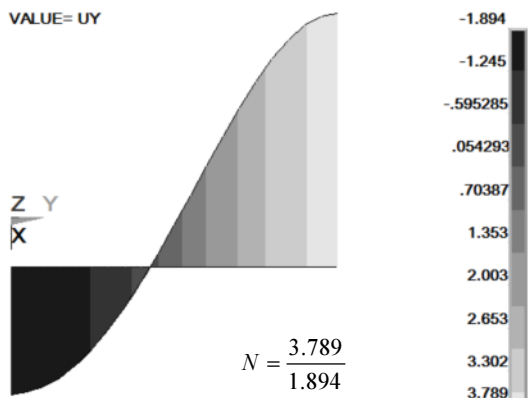
با این وجود برای اصلاح جزئی پارامترهای هندسی متمنکرکننده جهت رساندن مقادیر فرکانس طبیعی و ضریب بزرگنمایی آن به مقادیر دقیق مورد نظر در طراحی، لازم است از آنالیز المان محدود مودال بهره جست.

### ۳- اصلاح متمنکرکننده

در این بخش یک متمنکرکننده با استفاده از روابط تحلیلی بخش ۱-۱ طراحی شده و در نرم‌افزار انسیس مدل‌سازی و



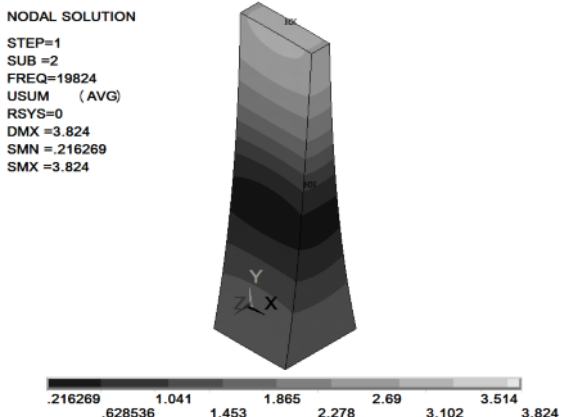
شکل ۱۳ فرکانس طبیعی ارتعاشات طولی و نسبت جابه‌جایی نواحی مختلف متمنکرکننده اصلاح شده  
 $D_0 = ۳۹\text{mm}$ ,  $L = ۱۲۸/۴۷۵\text{mm}$ ,  $\beta = ۱۱$ )



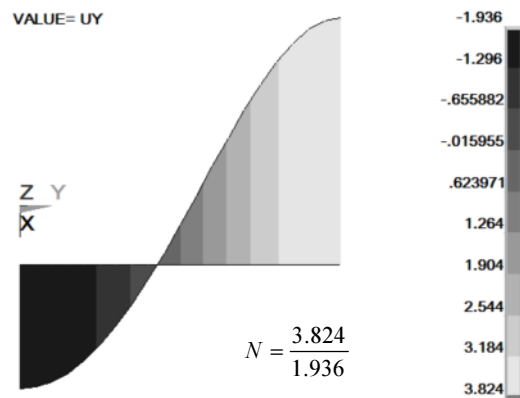
شکل ۱۴ جابه‌جایی نسبی متمنکرکننده در راستای طول آن برای متمنکرکننده اصلاح شده  
 $D_0 = ۳۹\text{mm}$ ,  $L = ۱۲۸/۴۷۵\text{mm}$ ,  $\beta = ۱۱$ )

#### ۴- بکارگیری متمنکرکننده در فرایند سنگزنانی به همراه آلتراسونیک

در این قسمت با استفاده از نتایج بخش‌های قبلی، یک متمنکرکننده نمایی با مقطع مستطیل شکل برای فرایند سنگزنانی به همراه آلتراسونیک طراحی می‌شود. در فرایند سنگزنانی به همراه آلتراسونیک، قطعه کار در حین سنگزنانی توسط سیستم آلتراسونیک مرتיעش می‌شود. در اینجا متمنکرکننده، ارتعاشات آلتراسونیک را به قطعه کار منتقل کرده و همچنین با یک ضریب بزرگنمایی مشخص، دامنه ارتعاشات آن را نیز تقویت می‌کند. از آنجا که از نتایج تحقیق در ساخت ستآپ



شکل ۱۱ فرکانس طبیعی ارتعاشات طولی و نسبت جابه‌جایی نواحی مختلف برای متمنکرکننده اصلاح نشده



شکل ۱۲ جابه‌جایی نسبی متمنکرکننده در راستای طول آن برای متمنکرکننده اصلاح نشده

از این رو لازم است به مقدار جزئی، پارامترهای هندسی متمنکرکننده اصلاح شوند تا مقادیر مطلوب فرکانس طبیعی و ضریب بزرگنمایی حاصل شوند. برای افزایش فرکانس می‌توان با توجه به رابطه (۲۶) طول متمنکرکننده ( $L$ ) را کاهش داد و یا بر اساس رابطه (۳۱) ضریب شکل ( $\beta$ ) را افزایش داد. همچنانی لازم است با توجه به رابطه (۳۰) برای افزایش ضریب بزرگنمایی، نسبت  $D_0/D_L$  افزایش یابد. در اینجا با اصلاح مقادیر پارامترهای هندسی  $\beta$ ,  $L$  و  $D_0$  به  $\beta = ۱۱$ ,  $D_0 = ۳۹\text{mm}$  و  $L = ۱۲۸/۴۷۵\text{mm}$ , متمنکرکننده اصلاح شده با مقادیر مطلوب  $f = ۲۰۰۰\text{ Hz}$  و  $N = ۲$  بدست می‌آید. در شکل‌های ۱۳ و ۱۴ به ترتیب فرکانس طبیعی ارتعاشات طولی و جابه‌جایی نسبی متمنکرکننده اصلاح شده در شبیه‌سازی المان محدود نشان داده شده است.

در ابتدا طراحی اولیه متمنکرزننده با استفاده از معادلات تحلیلی بدست آمده در بخش ۱-۲-۱ انجام می‌شود. همچنین با توجه به امکانات موجود برای آزمایش‌های تجربی، طراحی متمنکرزننده-قطعه کار برای یک ترانسیدیوسر ۲۰kHz صورت می‌پذیرد. در جدول ۵ مشخصات قطعه کار سنگ‌زنی آورده شده است. همچنین از مشخصات متمنکرزننده محاسبه شده در جدول ۴ برای طراحی اولیه استفاده شده است. اما از آنجا که اتصال قطعه کار به متمنکرزننده سبب افزایش طول کل و در نتیجه تغییر فرکانس تشدید متمنکرزننده-قطعه کار می‌شود از این رو لازم است طول متمنکرزننده اصلاح شده تا فرکانس تشدید مطلوب حاصل شود.

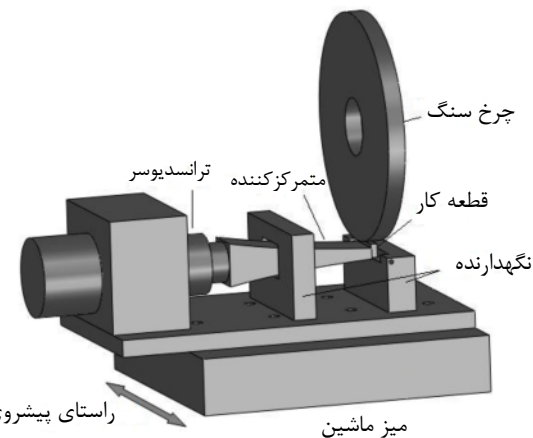
شكل ۱۶ المان‌بندی مجموعه متمنکرزننده-قطعه کار را نشان می‌دهد. المان‌بندی مدل با استفاده از روش شبکه‌بندی دستی انجام شده است و تعداد المان‌ها ۵۷۲۰ عدد می‌باشد. مشخصات نهایی متمنکرزننده و نتایج آنالیز مodal شامل شکل مود طولی و فرکانس تشدید نیز در شکل ۱۷ نشان داده شده است. قبل توجه است که در فرایند سنگ‌زنی به همراه آلتراسونیک باید ارتعاشات قطعه کار در مود ارتعاشی طولی و همچنین میزان جابه‌جایی نواحی مختلف آن حتی الامکان یکنواخت باشد. اما مشاهده شکل ۱۷ نشان می‌دهد که با توجه به تفاوت رنگ در سطح قطعه کار متصل به متمنکرزننده، جایی نسبی در نواحی مختلف آن یکسان نیست. به عبارت دیگر کرنش در مرکز قطعه بیشتر از دو ناحیه جانبی آن است. این رو بهتر است هنوز تغییراتی در هندسه متمنکرزننده صورت پذیرد تا جایه‌جایی نسبی نقاط مختلف قطعه کار حتی الامکان برابر شود. این موضوع با ایجاد دو شیار متقاضان در دو طرف متمنکرزننده امکان‌پذیر می‌شود. ایجاد دو شیار جانبی در قسمت انتهایی متمنکرزننده می‌تواند سبب افزایش کرنش طولی در لبه‌ها و یکنواخت‌تر شدن کرنش طولی در کل سطح قطعه کار متصل شده به متمنکرزننده شود.

جدول ۵ مشخصات قطعه کار سنگ‌زنی

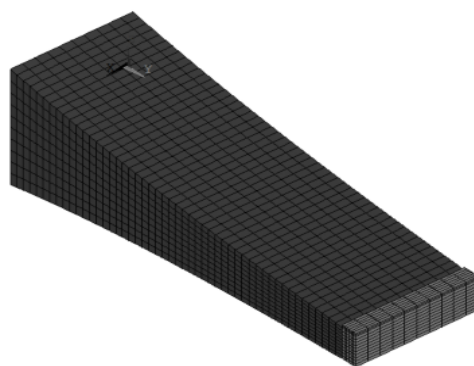
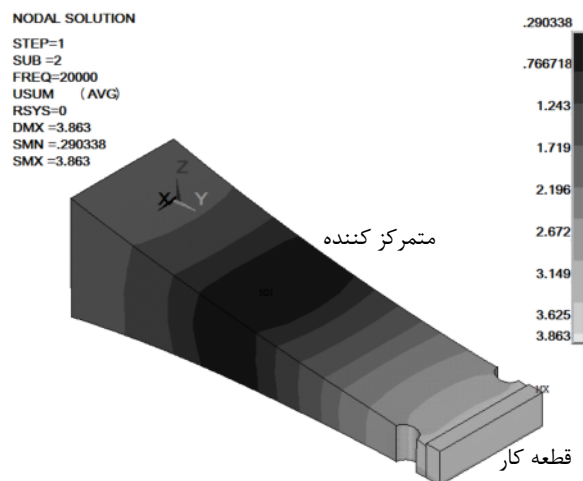
جنس ماده	سرامیک اکسید آلومینیوم
بعاد هندسی	$38 \times 11 \times 5 \text{ mm}$
چگالی $\rho$ ( $\text{kg}/\text{m}^3$ )	۳۶۲۵
مدول الاستیسیته $E$ (GPa)	۳۳۰
ضریب پواسون $\nu$	۰/۲۲

آزمایشگاهی و انجام آزمایش‌های سنگ‌زنی به همراه آلتراسونیک استفاده خواهد شد، از این رو قطعه کار سنگ‌زنی متناسب با آزمایش‌های تجربی انتخاب شد. در اینجا قطعه کار مورد بررسی به شکل مکعب مستطیل و از جنس سرامیک اکسید آلومینیوم می‌باشد. شماتیک فرایند سنگ‌زنی به همراه آلتراسونیک در شکل ۱۵ نشان داده شده است. در این مجموعه، ارتعاشات آلتراسونیک عمود بر راستای پیش‌روی سنگ‌زنی به قطعه کار اعمال می‌شود. تحقیقات پیشین [۶] نشان داده است که اعمال ارتعاشات آلتراسونیک به قطعه کار در فرایند سنگ‌زنی سبب کاهش نیرو و زبری سطح و افزایش نرخ براده‌برداری می‌شود.

در فرایند سنگ‌زنی به همراه آلتراسونیک لازم است متمنکرزننده ارتعاشات آلتراسونیک را از ترانسیدیوسر به قطعه کار منتقل نموده و دامنه ارتعاشات را نیز تقویت نماید. از نظر فنی لازم است متمنکرزننده و قطعه کار با هم در فرکانس کاری تعریف شده در مود طولی به حالت تشدید برسند. همچنین ضروری است اتصال متمنکرزننده-قطعه کار به خوبی صورت پذیرد تا انتقال موج آلتراسونیک با کمترین اتلاف انجام شود. برای این منظور لازم است سطح قطعه با سطح انتهای متمنکرزننده به خوبی و بدون وجود فاصله هوا، اتصال داشته باشد. همچنین در شبیه‌سازی نیز باید اتصال متمنکرزننده-قطعه کار تعریف شود. در شبیه‌سازی از المان سالید ۹۵۵ برای شبکه‌بندی قطعه کار و از المان لینک ۱۱ برای اتصال قطعه کار به متمنکرزننده استفاده می‌شود و آنالیز مodal نیز برای ترکیب متمنکرزننده-قطعه کار صورت می‌پذیرد.



شکل ۱۵ شماتیک فرایند سنگ‌زنی به همراه آلتراسونیک



شکل ۱۶ المان‌بندی مجموعه متمنکرکننده- قطعه کار

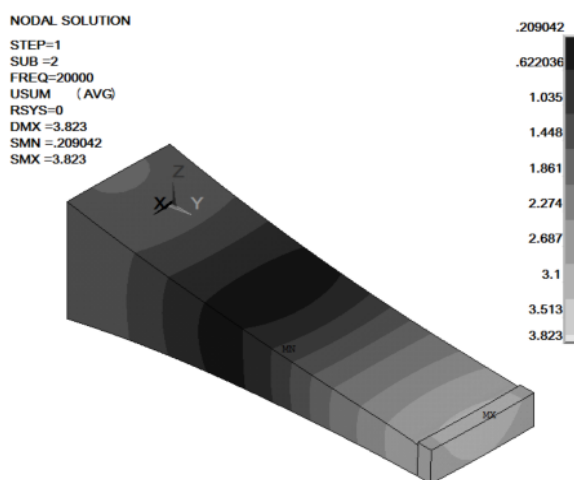
شکل ۱۸ شکل مود طولی و فرکانس تشدید مجموعه متمنکرکننده - قطعه کار پس از اصلاح طول متمنکرکننده و ایجاد دو شیار جانبی ( $\beta = 10/697$  و  $L_1 + L_2 = 121/925 + 5$  mm)

البته اختلاف این فرکانس با مقدار طراحی شده (۲۰۰۰۰ Hz) بسیار ناجیز است و دستگاه آلتراسونیک قادر به تطابق اتوماتیک با آن است. همچنین افت فرکانس بوجود آمده می‌تواند ناشی از اثرات دمپینگ داخلی مواد و دمپینگ حاصل از اتصال قطعات باشد. زیرا در شبیه سازی المان محدود مودال از اثر دمپینگ صرف نظر شده است.

## ۵- نتیجه‌گیری

نتایج حاصل از این پژوهش به صورت زیر خلاصه می‌شود:

- معادلات حاکم بر ارتعاشات طولی یک متمنکرکننده نمایی با سطح مقطع مستطیل شکل با استفاده از حل کامل تحلیلی بدست آمد.
- با استفاده از روابط تحلیلی بدست آمده، تأثیر پارامترهای موثر بر هندسه متمنکرکننده به صورت ذیل می-باشد:
  - با افزایش نسبت  $E/\rho$ ، طول متمنکرکننده ( $L$ ) افزایش و ضریب شکل ( $\beta$ ) کاهش می‌یابد.
  - با افزایش فرکانس تشدید ( $f$ )، طول متمنکرکننده ( $L$ ) کاهش و ضریب شکل ( $\beta$ ) افزایش می‌یابد.
  - با افزایش ضریب بزرگنمایی ( $N$ )، طول متمنکرکننده ( $L$ ) و فاکتور شکل ( $\beta$ ) هر دو افزایش می‌یابند. بدیهی است مدل سازی تحلیلی روابط بین پارامترهای موثر

شکل ۱۷ شکل مود طولی و فرکانس تشدید مجموعه متمنکرکننده- قطعه کار پس از اصلاح طول متمنکرکننده و ایجاد دو شیار جانبی ( $\beta = 10/697$  و  $L_1 + L_2 = 121/925 + 5$  mm)

در شکل ۱۸ نتایج آنالیز مodal مجموعه متمنکرکننده- قطعه کار پس از ایجاد دو شیار نشان داده شده است. شیارها به قطر  $d=6.5\text{ mm}$  و مرکز آنها در فاصله  $x=115\text{ mm}$  از ابتدای متمنکرکننده واقع شده است. واضح است که در این حالت جایه‌جایی نسبی در کل سطح قطعه کار متصل شده به متمنکرکننده یکنواخت شده است.

با این شرایط می‌توان اطمینان داشت که قطعه کار در فرکانس تشدید تعیین شده با شکل مود ارتعاشی طولی و جابه- جایی نسبی یکنواخت حرکت ارتعاشی داشته و عملیات برآورده برداری (سنگزنی) از سطح آن همراه با برهمنهی ارتعاشات آلتراسونیک می‌باشد. این مجموعه متمنکرکننده- قطعه کار طراحی شده، برای یک ست آپ آرمایشگاهی ساخته شد و همچنین فرکانس تشدید آن با اندازه‌گیری، مقدار ۱۹۹۷ Hz بدست آمد.

- [2] Singh R., Khamba J.S., "Ultrasonic machining of titanium and its alloys: A review", *Journal of Materials Processing Technology*, Vol. 173, No. 2, 2006, pp. 125-35.
- [3] Rani R., Rudramoorthy R., "Computational modeling and experimental studies of the dynamic performance of ultrasonic horn profiles used in plastic welding", *Ultrasonics*, Vol. 53, 2013, pp. 763-772.
- [4] Brehl D.E., Dow T.A., "Review of vibration-assisted machining", *Precision Engineering*, Vol. 32, No. 3, 2008, pp. 153-172.
- [5] Amini S., Soleimanimehr H., Nategh M.J., Abudollah A., Sadeghi M.H., "FEM analysis of ultrasonic-vibration-assisted turning and the vibratory tool", *Journal of Materials Processing Technology*, Vol. 201, 2008, pp. 43-47.
- [6] Tawakoli T., Azarhoushang B., "Ultrasonic assisted dry grinding of 42CrMo4", *International Journal of Advanced Manufacturing Technology*, Vol. 42, No. 9-10, 2009, pp. 883-891.
- [7] Amin, S.G., Ahmed, M.H.M., Youssef, H.A., "Computer-aided design of acoustic horns for ultrasonic machining using finite-element analysis", *Journal of Materials Processing Technology*, Vol. 55, 1995, pp. 254-260.
- [8] Zhao, F.L., Feng, D.J., Guo, D.M., "Design of horn using four-end network method", *Acta Acoustic.*, Vol 27, No.6, 2002, pp.554-558. (In Chinese).
- [9] Bängtsson, E., Noreland, D., Berggren, M., "Shape optimization of an acoustic horn", *Computational Methods Applied Mechanical Engineering.*, Vol. 192, 2003, pp. 1533-1571.
- [10] Lee, S., Hong, S.H., "Nonlinear vibration analysis of ultrasonic horn model for flip-chip bonding", In: *International Conference on Control, Automation and Systems*, 2007, pp.17-20, Seoul, Korea.
- [11] Yadava V., Deoghare A., "Design of horn for rotary ultrasonic machining using the finite element method", *International Journal of Advanced Manufacturing Technology*, Vol. 39, 2008, pp. 9-20.
- [12] Wang D.A., Chuang WY, Hsu K, Pham HT., "Design of a Bézier-profile horn for high displacement amplification", *Ultrasonics*, Vol. 51, 2011, pp. 148-156.
- [13] Mahdavinezhad R.A., *Non Conventional Manufacturing Processes*, Second Ed., Tehran, University of Tehran press, 2010. (In Persian)

در طراحی متمنکر کننده را به خوبی نشان داده و به طراح دید روش‌تری نسبت به چگونگی طراحی متمنکر کننده می‌دهد.

۳- اختلاف کمی (کمتر از ۳٪) بین مقادیر حل تحلیلی و نتایج شبیه‌سازی المان محدود وجود دارد. این اختلاف به دلیل وجود فرضیات ساده‌کننده‌ای است که در حل تحلیلی بکار رفته است. به عبارت دیگر آنالیز المان محدود از دقت بالاتری برخوردار است. با این وجود استفاده از روابط تحلیلی برای طراحی مدل اولیه متمنکر کننده لازم است. همچنین اصلاح جزئی مدل اولیه متمنکر کننده، به منظور تطبیق مقادیر فرکانس طبیعی و ضربی بزرگ‌نمایی با مقادیر مطلوب طراحی سبب افزایش دقت طراحی می‌شود.

۴- یکی از موارد کاربرد طراحی این نوع متمنکر کننده برای فرایند سنگزنانی به همراه آلتراسونیک مطرح شد. در این فرایند قطعه‌کار باید در حین انجام برآده‌برداری، دارای حرکت نوسانی فرکانس بالا باشد. آنالیز المان محدود مجموعه متمنکر کننده-قطعه‌کار نشان می‌دهد که می‌توان با اتصال قطعه‌کار به متمنکر کننده و اصلاح جزئی هندسه متمنکر کننده به فرکانس تشید مطلوب در سطح قطعه‌کار رسید.

۵- حتی‌الامکان بهتر است جابه‌جایی نوسانی قطعه‌کار در مود طولی به صورت صفحه‌ای انجام شده و نسبت جابه‌جایی طولی برای نقاط مختلف قطعه‌کار یکسان باشد. این موضوع در طراحی مجموعه متمنکر کننده-قطعه‌کار با اصلاح هندسی متمنکر کننده (ایجاد دو شیار متقاضن در دو طرف متمنکر کننده) رعایت شد.

## ۶- مراجع

- [1] Ensminger D., Bond Leonard J., *Ultrasonics Fundamentals, Technologies, and Applications*, Third Ed., CRC press, 2012.